ՀԱՅԱՍՏԱՆԻ ՀԱՆՐԱՊԵՏՈՒԹՅԱՆ ԳԻՏՈՒԹՅՈՒՆՆԵՐԻ ԱԶԳԱՅԻՆ ԱԿԱԴԵՄԻԱ НАЦИОНАЛЬНАЯ АКАДЕМИЯ НАУК РЕСПУБЛИКИ АРМЕНИЯ

Հшјшиտшић рриђшиши ћшићи 62, №1-2, 2009 Химический журнал Армении

УДК. 541.128+539.213+547.216+547.281.1

ВЛИЯНИЕ АМОРФНОСТИ И РАЗМЕРА ЧАСТИЦ КАТАЛИЗАТОРОВ НА ПРЕВРА-ЩЕНИЕ МЕТАНОЛА

Р. Р. ГРИГОРЯН 1 , Л. А. ВАРТИКЯН 1 , Т. А. ГАРИБЯН 1 , С. Л. ГРИГОРЯН 2 и Р. Т. МАЛХАСЯН 2

¹Институт химической физики им. А. Б. Налбандяна НАН Республики Армения Армения, 0014, Ереван, ул. П. Севака ,5/2 Fax: (0374-10) 29-73-09 , E-mail:tamara@ichph.sci.am

²"ЗАО" Наноаморф технология" Армения, 0076, Ереван, ул. Тевосян, 3/1 E-mail:rmalkhas@netsys.am

Поступило 29 IX 2008

Наноразмерные аморфные порошки металлов (Cu, Mo, Fe) получены квантово-химической технологией (КХТ), основанной на восстановлении оксидов металлов в неравновесных условиях, колебательно-возбужденными молекулами водорода при температурах, близких к комнатной. Проведено сравнительное исследование каталитической активности коммерческих и наноразмерных аморфных порошков Me(Me-Cu, Mo, Fe)-КХТ, нанесенных на носитель в процессе превращения паров метанола в температурном интервале 373-623 К.

Показано, что на катализаторах, полученных на основе наноразмерных аморфных порошков Cu(KXT), Mo(KXT) и Fe(KXT), конверсия метанола при 533K достигала 85, 80 и 75% с селективностью по формальдегиду 95, 50 и 80%, соответственно. Установлено, что, по сравнению с серебром – промышленным катализатором дегидрирования метанола на наноразмерном Cu(KXT), начало процесса смещено в сторону более низких температур.

Рис. 2, табл. 1, библ. ссылок 14.

Ранее нами было изучено окисление CH₃OH на SiO₂ и γ-Al₂O₃ разной пористости [1,2], CuO/SiO₂ [3], а также на ряде катализаторов на основе оксида меди [4]. Установлено, что пористость и удельная поверхность катализаторов определяют направление процесса окисления метанола [1,2]. Нанесение CuO на SiO₂ разной пористости с применением ультразвукового воздействия (УЗВ) в ходе приготовления катализатора [3] сделало возможным получение устойчивого и активного катализатора превращения метанола. УЗВ способствовало как уменьшению размера частиц, так и более равномерному распределению по поверхности SiO₂ активной фазы CuO и образованию новой Cu-содержащей фазы. В работе [4] показано, что в

процессе глубокого окисления метанола активность медьсодержащих катализаторов сильно зависела от способа приготовления и количества активной фазы. Ранее в работах [5,6] нами было установлено, что наноаморфный и нанокристаллический молибдены, полученные квантово-химической технологией (КХТ) восстановления оксида молибдена, являются активными катализаторами дегидрирования циклогексана, что было объяснено большей поверхностной плотностью дефектов или активных центров наноразмерных материалов. Квантово-химическая технология является развитием плазмохимической технологии [7] и отличается от нее тем, что основным компонентом в данной используемой плазме являются неравновесные колебательно-возбужденные гомоядерные молекулы водорода с возбуждением до 3-го квантового уровня. В отличие от известных плазмохимических процессов, в нашем случае процесс протекает практически при комнатной температуре [8-13]. Применение колебательно-возбужденных молекул водорода в неравновесных процессах восстановления оксидов различных металлов, протекающих при температурах, близких к комнатной, приводит к образованию нового фазового состояния – аморфного.

С учетом полученных ранее результатов исследования каталитической активности систем, полученных на основе аморфных порошков Cu, Мо и Fe в процессе дегидрирования метанола, и установление влияния размера частиц CuO на ее каталитическую активность в процессе глубокого окисления метанола представляются обоснованными и являются целью настоящей работы.

Экспериментальная часть

Процессы дегидрирования и глубокого окисления метанола изучались на проточной установке, в U-образном кварцевом реакторе при атмосферном давлении. Анализ исходных веществ и конечных продуктов проводился хроматографическим методом,. Диоксид углерода, формальдегид, вода, метанол анализировались на колонке 3 м х 3 мм, заполненной паропаком N, температура колонки 393 K, газ-носитель – He, скорость потока – $60 \, cm^3/мин$, детектор – катарометр. Анализ Н2 проводился на колонке 5 м x 3 мм, заполненной Linde 5 Å, газноситель – Ar, скорость потока – $40 \, \text{см}^3/\text{мин}$, температура колонки $353 \, \text{K}$, анализ гексана – на 1,5 м колонке с динонилфталатом (20) на хромосорбе Р. Для оценки состояния поверхности использовали рентгенофазовый анализ "ДРОН-3", трансмиссионный электронный микроскоп "ТЭСЛА BS-500" при ускоряющем напряжении 90 кВ и электронный парамагнитный резонанс – ЭПР "Varian-E 104A". Синтез наноразмерных аморфных порошков Ме(КХТ) был реализован в специальном кварцевом реакторе [11,12]. Полученные порошки очень активны, поэтому их сразу после синтеза, без доступа воздуха, помещали в очищенный и осушенный натрием гексан, либо откачивали и хранили в вакууме в запаянной ампуле. С целью получения катализаторов с развитой поверхностью заданные количества Си(ком.), Мо(ком.), Fe(ком), Cu(KXT), Mo(KXT) и Fe(KXT) в гексане заливались на предварительно прокаленный при 673 K y-Al₂O₃ (размер гранул 2 мм, удельная поверхность 60 M^2/r , радиус пор 370Å), после чего перемешивались и встряхивались в течение 6 ч при комнатной температуре для равномерного распределения активной фазы по поверхности носителя. Перед началом опытов по превращению паров метанола гексан удалялся потоком водорода, что контролировалось хроматографически. Для дегидрирования метанола использовали коммерческие порошки Cu, Мо и Fe с размером частиц около 10~мкm, а также Cu(KXT), Mo(KXT), Fe(KXT)-наноразмерные аморфные порошки, полученные восстановлением соответствующих нанооксидов. Для глубокого окисления метанола использовали коммерческий CuO(ч.д.а.) с размером частиц 10-20~мкm и CuO с размером зерен 16-32~нm фирма "Nanophase Technologies Corporation". Удельная поверхность последней колеблется в пределах от $30~\text{до}~60~\text{m}^2/\text{r}$. Порошки таблетировались, разламывались и вводились в реактор.

Исследования на трансмиссионном электронном микроскопе порошка Cu(KXT), полученного КХТ восстановлением CuO, показали наличие совершенного диффузного гало, типичного для аморфных материалов (рис. 1). Подобные картины были получены и в случае КХТ восстановления Fe_2O_3 и MoO_3 [11]. Размер частиц полученных порошков был в пределах 15-20 μ M.

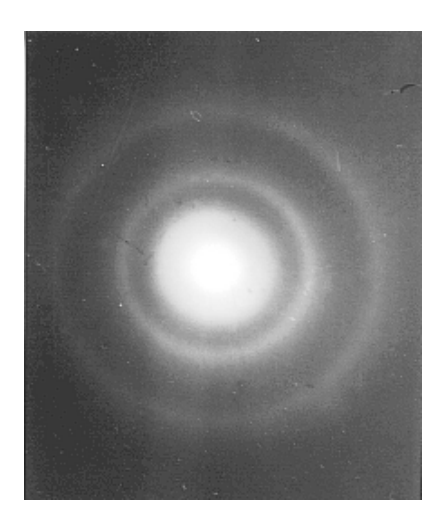


Рис. 1. Электронно-дифракционное изображение Си-наноаморфного, полученного КХТ.

На рис. 2 представлены рентгенограммы, иллюстрирующие изменение структуры исходного наноразмерного CuO(a) в процессе КХТ восстановления (рис. 2b). Как видно из рисунка, восстановленный порошок имеет рентгенограмму, характерную для рентгеноаморфных веществ, с большим фоном при малых углах отражения и размытыми пиками малой интенсивности.

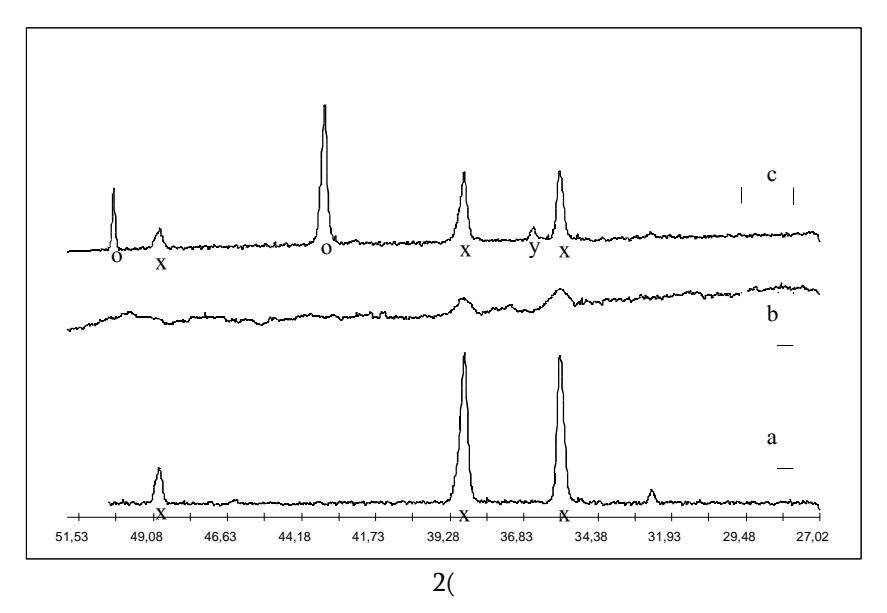


Рис. 2. Рентгенограмма исходного CuO - (a), Cu (KXT)-наноаморфного (b), Cu(KXT) после реакции – нанокристаллический (c): x - CuO; o - Cu; y - Cu2O.

Полученные результаты и обсуждение

Известно, что превращение метанола в формальдегид и водород [14] на металлических катализаторах, таких, как медь, серебро, протекает в присутствии малых количеств кислорода. Поэтому процесс дегидрирования СН₃ОН изучался в проточном реакторе при давлении 680 *Торр*, составе смеси 1 *об.*% СН₃ОН в гелии, содержащем около 0,1 *об.*% О₂, в температурном интервале 373-623 K и скорости потока гелия 45 cm^3/muh на Cu(ком.), Мо(ком.), Fe(ком.), Cu(KXT), Mo(KXT) и Fe(KXT). Чтобы исключить контакт с воздухом, одинаковые количества последних весом около 0,01 r вместе с гексаном прибавлялись к заранее осушенному 0,5 r у-Al₂O₃ и все это взбалтывалось (механическое нанесение). Перед началом экспериментов гексан удалялся потоком водорода при температуре от комнатной до 523 K. Затем при этой температуре все катализаторы были обработаны в потоке H₂ в течение 2 r, что не сказывалось на размере частиц, в то же время обеспечивало получение воспроизводимой каталитической поверхности. Предварительными экспериментами было показано, что на носителе у-Al₂O₃ после удаления гексана превращение СН₃OH не наблюдается вплоть до T=513 K, а при 533K составляет 20%. В продуктах обнаруживаются СО₂ и H₂, формальдегид не обнаружен.

На $Cu(ком.)/\gamma$ - Al_2O_3 и $Mo(ком)/\gamma$ - Al_2O_3 превращение CH_3OH начинается с 503 и 493 K, соответственно, а на $Cu(KXT)/\gamma$ - Al_2O_3 и $Mo(KXT)/\gamma$ - Al_2O_3 температура начала реакции снижается соответственно до 460 и 473K. Процесс дегидрирования метанола в изученном температурном интервале на коммерческом кристаллическом F0 практически не протекал.

На катализаторах, полученных КХТ, не только снижается температура начала реакции, но и увеличивается конверсия CH₃OH в CH₂O, достигая при 533 K на Cu(KXT)/ γ -Al₂O₃ – 85%, Mo(KXT)/ γ -Al₂O₃ – 80% и Fe(KXT)/ γ -Al₂O₃ – 75%, с 95, 50 и 80% селективностью в формальдегид. В продуктах в этих условиях также обнаруживаются H₂, CO₂ и H₂O. Данные по дегидрированию метанола на медных, железных и молибденовых катализаторах приведены в таблице.

Tаблица Дегидрирование метанола на медных, железных и молибденовых катализаторах, содержащих 0,01 rCu, Fe, Mo на 0,5 r γ -Al₂O₃, при T = 533 K

Катализатор	Размер частиц	Конверсия СН₃ОН,%	Селективность $\mathrm{CH_2O}$, %
γ-Al ₂ O ₃	Гранулы 2 мм	20	_
Cu(ком)/ γ-Al ₂ O ₃	10 мкм	30	15
Мо(ком)/ γ-Al ₂ O ₃	10 мкм	25	30
Fe(ком)/ γ-Al ₂ O ₃	10 мкм	-	_
Cu(KXT)/ γ-Al ₂ O ₃	15-20 нм	85	95
Mo(KXT)/ γ-Al ₂ O ₃	15-20 нм	80	50
Fe(KXT)/ γ-Al ₂ O ₃	15-20 нм	75	80

Рентгенофазовый и электронно-микроскопический анализы для образца $Cu(KXT)/\gamma$ - Al_2O_3 после реакции дегидрирования метанола при 533 K показали появление кристаллических фаз Cu, Cu_2O и CuO (рис. 2в) с размером частиц ~ 20 -30 μ m. РФА катализатора Fe(KXT) после реакции показал наличие фаз Fe-кристаллической, FeO, Fe_2O_3 , Fe_3O_4 . ТЭМ исследования обнаружили нанокристаллы железа (~ 25 μ m) и агломераты кристаллических оксидов. В случае $Mo(KXT)/\gamma$ - Al_2O_3 , $P\Phi A$ и ЭПР исследования катализатора после реакции показали наличие смешанных фаз оксидов молибдена, что, по-видимому, и обиясняет относительно низкую селективность его по CH_2O и высокое содержание в продуктах CO_2 и H_2O . Последнее предположение было подтверждено дополнительными экспериментами, в которых в качестве активной фазы использовалась смесь MoO_2 и MoO_3 .

Как известно [14], глубина протекания реакции при 700 K на серебре составляет 70%, а выход CH_2O составляет 95%. В наших исследованиях на $Cu(KXT)/\gamma$ - Al_2O_3 конверсия $CH_3OH-85\%$, с селективностью в CH_2O около 95% достигается при температуре на ~200 градусов ниже, чем на серебре. До 460K снижается температура начала реакции.

Глубокое окисление метанола на катализаторах CuO (ком) и CuO (нано) проводилось при атмосферном давлении, для смеси 1,5 o6.% CH₃OH в воздухе, в температурном интервале 375-623 K. Скорость потока – $480 \ cm^3/muH$; что соответствовало максимальной конверсии CH₃OH на CuO (ком.)[3]. На CuO(ком) реакция начинается с $453 \ K$. Максимальное превраще-

ние достигается при 600~K – конверсия CH_3OH – 70%. Катализатор CuO(нано) значительно активнее CuO (ком.). Реакция начинается при более низкой температуре – 433K. При 600~K конверсия достигает 80%. Селективность по CO_2 в обоих случаях 100%. В ходе реакции у обоих катализаторов со временем происходит уменьшение каталитической активности, причем на CuO (нано) быстрее. На обычном CuO конверсия CH_3OH через 6~v – 40%, а на CuO нанофазном через 2~v – 40%. ЭПР исследования при комнатной температуре образцов CuO обычного и нанофазного показали, что для одинаковых навесок CuO нанофазный (60~otnoc.~ex.) содержит примерно в 5 раз больше ионов Cu^{2+} , чем CuO обычный (12~otnoc.~ex.). В процессе реакции глубокого окисления метанола на нано-CuO и CuO обычном происходит уменьшение числа парамагнитных ионов Cu^{2+} , из-за чего уменьшается каталитическая активность. $P\Phi A$ исследования на отработанном катализаторе показывают как наличие CuO, так и появление фазы Cu_2O на обоих катализаторах. При этом на нано-CuO количество Cu_2O фазы больше, что свидетельствует о более глубоком восстановлении нано-CuO метанолом, даже в избытке кислорода. Другая причина падения активности CuO связана с отравлением активных центров катализатора продуктами уплотнения [4].

Полученные результаты свидетельствуют о перспективности использования катализаторов, полученных на основе наноразмерных аморфных порошков Cu, Мо и Fe в процессе дегидрирования метанола: растет конверсия CH₃OH, селективность по CH₂O и понижается температура начала реакции. В реакции глубокого окисления метанола наноразмерный CuO активнее обычного.

ԿԱՏԱԼԻԶԱՏՈՐՆԵՐԻ ՄԱՍՆԻԿՆԵՐԻ ՉԱՓԵՐԻ ԵՎ ԱՄՈՐՖ ՎԻՃԱԿԻ ԱԶԴԵՑՈՒԹՅՈՒՆԸ ՄԵԹԱՆՈԼԻ ՓՈԽԱՐԿՄԱՆ ՊՐՅՑԵՍԻ ՎՐԱ

Ռ. Ռ. ԳՐԻԳՈՐՑԱՆ, Լ. Ա. ՎԱՐՏԻԿՑԱՆ, Թ. Ա. ՂԱՐԻԲՑԱՆ, Ս. Լ. ԳՐԻԳՈՐՑԱՆ և Ռ. Թ. ՄԱԼԽԱՍՅԱՆ

Նանոչափ ամորֆ Cu, Mo, Fe պարունակող նյութերը ստացվել են քվանտաքիմիական տեխնոլոգիայով (ք.ք.տ) սենյակային ջերմաստիձանում տատանողական - գրգռված ջրածնի մոլեկուլներով ոչ հավասարակշռային պայմաններում մետաղների օքսիդների վերականգմամբ։ Կոմերցիոն և նանոչափ ամորֆ մետաղների կատալիտիկ ակտիվության համեմատական հետազոտումը կատարվել է մեթանոլի փոխարկման պրոցեսում, 373-623K ջերմաստիձանային միջակայքում։ Ցույց է տրվել, որ կատալիզատորների առկայությամբ, որոնք ստացվել են քվանտաքիմիական տեխնոլոգիայով, Cu(p.p.m), Mo(p.p.m) և Fe(p.p.m) մեթանոլի կոնվերսիան 553K ջերմաստիձանում հասել է 85, 80 և 75% - 10 ի, իսկ արդյունավետությունը ըստ ֆորմալդեհիդի համապատասխանաբար կազմել է 100, 101, 101, 102, 103, 103, 103, 104, 104, 104, 105,

THE INFLUENCE OF THE AMORPHISM AND SIZE OF THE CATALYSTS PARTICLES ON THE TRANSFORMATION OF METHANOL

R. R. GRIGORYAN, L. A. VARTIKYAN, T. A. GARIBYAN, S. L. GRIGORYAN and R. T. MALKHASYAN

A.B.Nalbandyan Institute of Chemical Physics NAS RA 5/2 P.Sevak str., Yerevan,0014, Armenia E-mail: tamara@ichph.sci.am

CJSC "Nanoamorf Technology" 3/1 Tevosyan str., Yerevan, 0076, Armenia E-mail: malkhas@aua.am

Nanosized amorphous metal (Cu, Mo, Fe)-containing materials were obtained using the Quantum-Chemical Technology (QCT) reducing metals oxides under noneequilibrium conditions at room temperature with vibrationally excited hydrogen molecules. A comparative analysis of the commercial and nanosized amorphous Me(Cu,Mo,Fe)-QCT was carried out in the process of transforming methanol vapors in the temperature interval of 373-623K. It is shown that on the catalysts, which are obtained on the basis of nanosized amorphous Cu(QCT),Mo(QCT) and Fe(QCT), the conversion of methanol reached 85, 80 and 75% with the selectivity on formaldehyde – 90, 50 and 80% respectively, at temperature of 533 K. On the Cu and Mo commercials the conversion and selectivity are considerably lower. It is determined that nanosized CuO is noticeably more active than CuO commercial in the deep transformation of methanol.

ЛИТЕРАТУРА

- [1] *Григорян Р.Р., Мурадян А.А., ГарибянТ.А., Симонова Л.Г.* // Кинетика и катализ, 1991, т. 32, №4, с. 902.
- [2] *Мурадян А.А., Григорян Р.Р., Манукян Н.С., Гарибян Т.А.* // Химическая физика,1991, т.10, №2, с. 227.
- [3] *Гарибян Т.А., Мурадян А.А. Григорян Р.Р., Манукян Т.А.* // Кинетика и катализ, 1993, т.34, №4, с 742
- [4] Саакян Э.Ф., Григорян Р.Р., Мурадян А.А., Гарибян Т.А. // Хим. ж. Армении, 1998, т.51, №3-4, с.110.
- [5] *Гарибян Т.А., Малхасян Р.Т., Григорян Р.Р., Вартикян Л.А., Минасян В.Т., Григорян С.Л.* // Тезисы конференции «Химическая наука Армении на пороге XXI века». Армения, 2000, с.24.
- [6] Malkhasyan R.T,Grigoryan S.L.,Gharibyan T.A., Vartikyan L.A.,Minasyan V.T., Grigoryan R.R. // MRS,Boston,2000, Abstract.-HH 2.3, p. 625.
- [7] Плазмохимические процессы. М., Наука, 1979, 220 с.
- [8] Malkhasyan R.T., Agababyan E.V., Karakhanyan R.K. // Chem. Phys. Reports, 1996, v.15, №10, p.1409.
- [9] Малхасян Р.Т., Мовсесян Г.Л.,Потапов В.К. // Химия высоких энергий,1992, т. 26, №1, с. 3.
- [10] Малхасян Р.Т., Мовсесян Г.Л. // Приборы и техника эксперимента, 1991, №4, с.127.
- [11] *Гарибян Т.А., Минасян В.Т., Вартикян Л.А., Малхасян Р.Т., Григорян С.Л.* // Хим. ж. Армении, 2009, т. 62, №1-2, с. 41.
- [12] Малхасян Р.Т., Агабабян Э.В., Караханян Р.К. // Химическая физика, 1999, т.15, №10, с. 8.
- [13] Malkhasyn R.T., Grigoryan S.L., Gharibyan T.A. Vartikyan L.A., Minasyan V.T., Grigoryan R.R. // Conversion Potential of Armenia and ISTC Programs, Intern. Seminar 2000, Yerevan, October, p.263.
- [14] Катализ в промышленности. М., Мир, 1986, т.2, 290 с.